

Camps vectorials.

Fins ara hem integrat funcions escalars o camps escalars, definides a  $\mathbb{R}^2$  o  $\mathbb{R}^3$  i amb valors a  $\mathbb{R}$ . Ara considerarem camps vectorials, és a dir, funcions que prenen valors a  $\mathbb{R}^2$  o  $\mathbb{R}^3$ .

- Def. \* un camp vectorial pla, sobre  $U \subset \mathbb{R}^2$ , és una aplicació que a cada punt li assigna un vector,

$$F: U \subset \mathbb{R}^2 \rightarrow \mathbb{R}^2$$

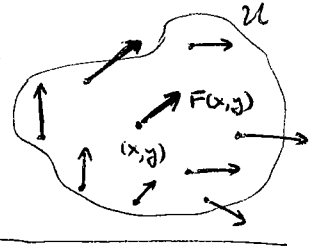
$$(x,y) \mapsto F(x,y) = (P(x,y), Q(x,y))$$

Pot ser continu, derivable,  $C^\infty$ , etc.

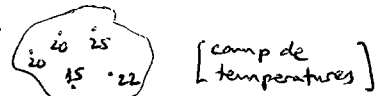
- \* un camp vectorial sobre  $U \subset \mathbb{R}^3$  és

$$F: U \subset \mathbb{R}^3 \rightarrow \mathbb{R}^3$$

$$(x,y,z) \mapsto F(x,y,z) = (P(x,y,z), Q(x,y,z), R(x,y,z))$$

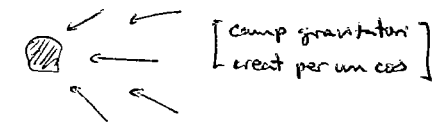


- Hi ha molts fenòmens físics que venen descrits per camps escalars, com la temperatura en cada punt d'un domini.



Però d'altres fenòmens requereixen considerar camps vectorials, com ara:

- un camp de forces (gravitatori, elèctric, ...)
- un camp magnètic
- camp de velocitats d'un fluid.

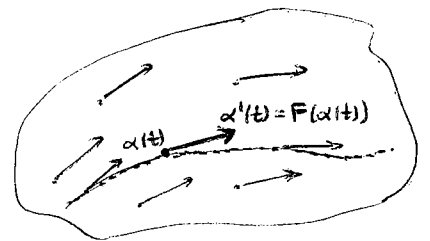


Línies de flux o de corrent

Donat un camp vectorial  $F = (P, Q, R)$ , les línies de flux o de corrent de  $F$  són les solucions o trajectòries  $\alpha(t) = (x(t), y(t), z(t))$  del sistema (autònom) d'EDOs:

$$X' = F(X), \text{ és a dir, } \begin{cases} x' = P(x,y,z) \\ y' = Q(x,y,z) \\ z' = R(x,y,z) \end{cases}$$

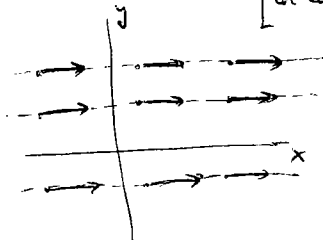
Si  $F$  és el camp de velocitats d'un fluid, les línies de flux  $\alpha(t)$  segueixen les trajectòries seguides per cadascuna de les partícules del fluid.



Exemples de línies de flux:

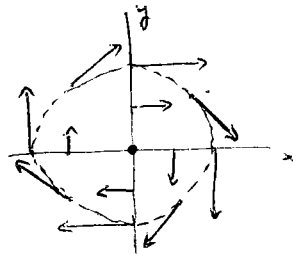
- (1)  $F(x,y) = (1, 0)$ , constant.

$$\alpha(t) = (x_0 + t, y_0) \left[ \begin{array}{l} \text{solució de } \begin{cases} x' = 1 \\ y' = 0 \end{cases} \text{ amb} \\ \text{la cond. inicial } \begin{cases} x(0) = x_0 \\ y(0) = y_0 \end{cases} \end{array} \right]$$



- (2)  $F(x,y) = (y, -x)$

$$\alpha(t) = (x_0 \cos t + y_0 \sin t, -x_0 \sin t + y_0 \cos t)$$



- (3)  $F(x,y,z) = (x,y,z)$

$$\alpha(t) = (e^t x_0, e^t y_0, e^t z_0)$$

[requereixen rectes que s'allarguen de l'origen]

## • Camps gravitatori i elèctric (camps newtonians).

Són exemples importants de camps de forces.

\* camp gravitatori / elèctric creat per 1 partícula (massa puntual / càrrega puntual).

Donades masses  $m, m_1$  situades en els punts  $(x, y, z), (x_1, y_1, z_1)$ , segons la llei de la gravitació universal de Newton la força d'atracció entre les dues masses és:

$$\frac{G m m_1}{r^2}$$

$G =$  constant de gravitació universal

$$r = \sqrt{(x-x_1)^2 + (y-y_1)^2 + (z-z_1)^2} \quad (\text{distància entre els 2 punts})$$

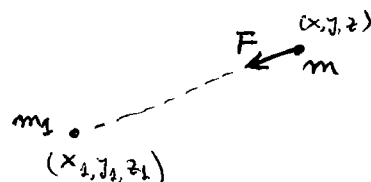
En forma vectorial, la força que la massa  $m_1$  exerceix sobre la massa  $m$  és:

$$\vec{F} = - \frac{G m m_1}{r^3} \vec{r}$$

$$\vec{r} = (x-x_1, y-y_1, z-z_1)$$

$$r = \|\vec{r}\|$$

$$(\text{notem que } \|\vec{F}\| = \frac{G m m_1}{r^2})$$



Fixant la massa  $m_1$  en el punt  $(x_1, y_1, z_1)$ , podem veure la força exercida sobre una partícula de massa unitat  $m=1$ , situada en qualsevol punt  $(x, y, z)$ , com un camp vectorial:

$$\vec{F}(x, y, z) = - \frac{G m_1}{r^3} \vec{r} = - \frac{G m_1}{((x-x_1)^2 + (y-y_1)^2 + (z-z_1)^2)^{3/2}} (x-x_1, y-y_1, z-z_1)$$

el camp gravitatori creat per la massa  $m_1$  situada en  $(x_1, y_1, z_1)$ .

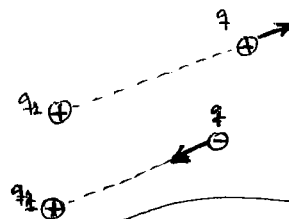
De manera anàloga, segons la llei de Coulomb, una càrrega elèctrica puntual  $q_1$  (estàtica), situada en el punt  $(x_1, y_1, z_1)$  determina un camp elèctric:

$$\vec{E}(x, y, z) = \frac{1}{4\pi\epsilon_0} \cdot \frac{q_1}{r^3} \cdot \vec{r} = \frac{1}{4\pi\epsilon_0} \cdot \frac{q_1}{((x-x_1)^2 + (y-y_1)^2 + (z-z_1)^2)^{3/2}} (x-x_1, y-y_1, z-z_1)$$

$\epsilon_0 =$  permissivitat en el buit.

Així, la força exercida per la càrrega  $q_1$  sobre una altra càrrega  $q$  situada en el punt  $(x, y, z)$ , és  $q \cdot \vec{E}(x, y, z) = \frac{1}{4\pi\epsilon_0} \frac{q q_1}{r^3} \vec{r}$ .

Aquesta força és repulsora si  $q_1, q$  tenen el mateix signe, i atractora si  $q_1, q$  tenen diferent signe (en el cas gravitatori sempre és atractora)

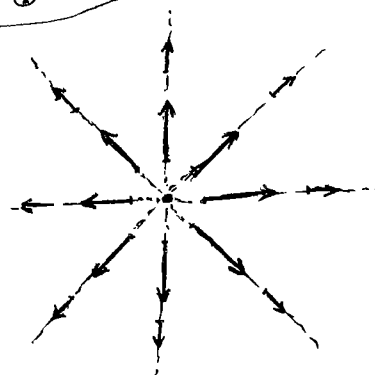


Sovint, per simplificar imposarem constants = 1, i que el punt  $(x_1, y_1, z_1)$  és l'origen. Així, el camp gravitatori / elèctric creat per 1 partícula és de la forma

$$\vec{F} = \frac{\vec{r}}{r^3} = \frac{(x, y, z)}{(x^2 + y^2 + z^2)^{3/2}}$$

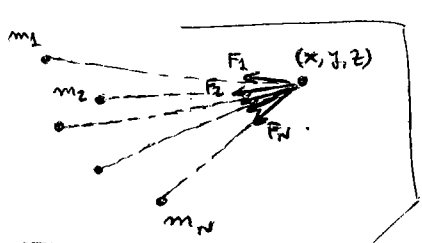
Les línies de flux són rectes per l'origen

(ortogonals a les superfícies de nivell del potencial  $V = -\frac{1}{r}$ , que són esferes concèntriques  $r = \text{const.}$ )



\* camp gravitatori / elèctric creat per N partícules.

Donades N masses  $m_1, \dots, m_N$  situades en els punts  $(x_1, y_1, z_1), \dots, (x_N, y_N, z_N)$  respectivament, el camp gravitatori que creen (força exercida sobre una massa unitària situada en un punt  $(x, y, z)$ ), ve donat per:



$$F(x, y, z) = \sum_{k=1}^N F_k = -G \sum_{k=1}^N \frac{m_k \vec{r}_k}{r_k^3}$$

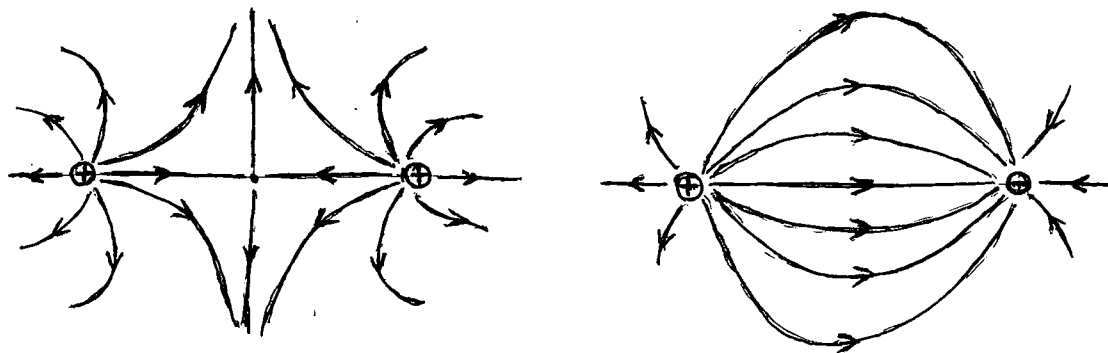
(principi de superposició o additivitat: al sumar les forces exercides per cadascuna de les masses  $m_1, \dots, m_N$ .)

$$\vec{r}_k = (x - x_k, y - y_k, z - z_k)$$

$$r_k = \|\vec{r}_k\|, \quad k=1, \dots, N.$$

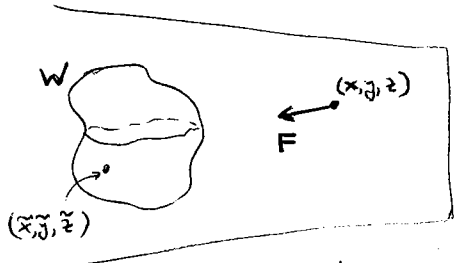
Analogament, tenim el camp elèctric creat per N càrregues puntuals  $q_1, \dots, q_N$  (les quals poden tenir diferents signes).

En el cas del camp elèctric generat per 2 càrregues iguals, del mateix signe ( $q_1 = q_2$ ) o de signes diferents ( $q_1 = -q_2$ ), les línies de flux són:



\* camp gravitatori / elèctric creat per una distribució de massa / càrrega.

Considerant ara un sòlid  $W \subset \mathbb{R}^3$  amb densitat de massa  $\rho: W \rightarrow \mathbb{R}, \rho \geq 0$ , el camp gravitatori creat per aquest sòlid ve donat per:



$$F(x, y, z) = - \int_W \frac{\rho \vec{r}}{r^3} d\tilde{x} d\tilde{y} d\tilde{z}, \text{ essent } \rho = \rho(\tilde{x}, \tilde{y}, \tilde{z})$$

$$\vec{r} = (x - \tilde{x}, y - \tilde{y}, z - \tilde{z})$$

$$r = \|\vec{r}\| = \sqrt{(x - \tilde{x})^2 + (y - \tilde{y})^2 + (z - \tilde{z})^2}$$

per a  $(\tilde{x}, \tilde{y}, \tilde{z}) \in W$ .

(hem posat  $G=1$  per simplificar).

En components, tenim  $F = (P, Q, R)$ ,

amb

$$P(x, y, z) = - \int_W \frac{\rho(\tilde{x}, \tilde{y}, \tilde{z}) \cdot (x - \tilde{x})}{((x - \tilde{x})^2 + (y - \tilde{y})^2 + (z - \tilde{z})^2)^{3/2}} d\tilde{x} d\tilde{y} d\tilde{z},$$

i analogament amb  $Q(x, y, z)$  i  $R(x, y, z)$ .

(\*)

Nota. Té sentit considerar la força gravitatòria exercida per  $W$  sobre un punt  $(x, y, z)$  del propi sòlid  $W$ . En aquest cas, les fórmules (\*) ens donen una integral impròpia, però passant a coordenades esfèriques

$$\begin{cases} \tilde{x} = x + s \cos \varphi \cos \theta \\ \tilde{y} = y + s \cos \varphi \sin \theta \\ \tilde{z} = z + s \sin \theta \end{cases} \quad (s, \theta, \varphi) \mapsto (\tilde{x}, \tilde{y}, \tilde{z})$$

(centrades al punt donat  $(x, y, z)$ ),

obtenim:

$$P(x, y, z) = + \int_{W^*} \frac{\rho \cdot s \cos \varphi \cos \theta}{s^3} \cdot \underbrace{s^2 \cos \varphi}_{\text{jacobí}} ds d\theta d\varphi, \text{ on la integral } \int_0^{\dots} ds$$

és convergent (i semblant amb  $Q$  i  $R$ )

Anàlogament, el camp elèctric creat per una distribució de càrrega  $e: W \subset \mathbb{R}^3 \rightarrow \mathbb{R}$ , ve donat per

$$E(x, y, z) = \int_W \frac{e \vec{r}}{r^3} d\tilde{x} d\tilde{y} d\tilde{z}, \text{ amb } \begin{cases} e = e(\tilde{x}, \tilde{y}, \tilde{z}) \\ \vec{r} = (x - \tilde{x}, y - \tilde{y}, z - \tilde{z}) \\ r = \|\vec{r}\| \end{cases}$$

En aquest cas, la funció densitat  $e: W \rightarrow \mathbb{R}$  pot prendre valors positius i/o negatius.

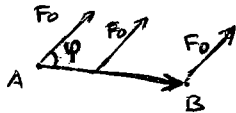


També podem considerar el camp gravitatòri / elèctric creat per una distribució de massa / càrrega sobre una corba o una superfície de  $\mathbb{R}^3$ . Caldria considerar integrals anàlogues a (\*), sobre la corba o superfície.

## Integral de línia o circulació (d'un camp vectorial al llarg d'una corba).

- La noció d'integral de línia o circulació correspon a la del treball efectuat per un camp de forces sobre una partícula que es mou al llarg d'una trajectòria.

- Cas simple: una força constant  $F_0$ , que actua sobre una partícula que es mou sobre el segment del punt A fins al punt B. (el moviment de la partícula pot ser degut a la suma d'aquesta i altres forces)

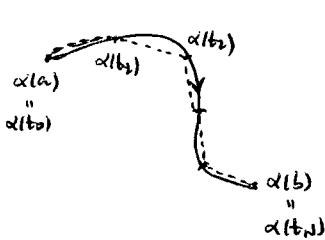


$$\text{Treball} = \|F_0\| \cdot \|AB\| \cdot \cos \varphi = \langle F_0, \overrightarrow{AB} \rangle$$

- si  $\cos \varphi > 0 \rightarrow$  força  $F_0$  favorable al moviment.
- si  $\cos \varphi < 0 \rightarrow$  força  $F_0$  contrària al moviment.

- En general, considerem un camp de forces  $F(x,y,z) = (P(x,y,z), Q(x,y,z), R(x,y,z))$ , i una partícula que es mou sobre una trajectòria  $\alpha: [a,b] \rightarrow \mathbb{R}^3$ .

Podem aproximar el treball efectuat per  $F$  al llarg de la trajectòria  $\alpha$ , a partir d'una partició  $a = t_0 < t_1 < \dots < t_N = b$ ,  $\Delta t = t_i - t_{i-1}$ .



$$\begin{aligned} \text{treball total} &= \sum_{i=1}^N [\text{treball de } \alpha(t_{i-1}) \text{ a } \alpha(t_i)] \approx \\ &\approx \sum_{i=1}^N \langle F(\alpha(c_i)), \alpha'(c_i) \rangle \Delta t, \text{ amb } c_i \in [t_{i-1}, t_i]. \end{aligned}$$

[ per a cada  $i=1, \dots, N$ , aproximem el tram de corba entre  $\alpha(t_{i-1})$  i  $\alpha(t_i)$  pel segment que uneix aquests dos punts,  $\alpha(t_i) - \alpha(t_{i-1}) \approx \alpha'(c_i) \cdot \Delta t$ , i suposem  $F \approx \text{const.}$  en aquest tram.

Passant al límit quan  $N \rightarrow \infty$  ( $\Delta t \rightarrow 0$ ), obtenim  $\int_a^b \langle F(\alpha(t)), \alpha'(t) \rangle dt$ .

Def.

- (a) Donada  $\alpha: [a,b] \rightarrow \mathbb{R}^3$  trajectòria regular i donat  $F = (P, Q, R)$  camp vectorial (continu), la circulació o integral de línia de  $F$  al llarg de  $\alpha$  és:

$$\int_{\alpha} \langle F, dl \rangle = \int_a^b \langle F(\alpha(t)), \alpha'(t) \rangle dt.$$

- (b) Si  $\alpha$  és regular a trossets:  $\alpha_1, \dots, \alpha_r$ ,  $\int_{\alpha} \langle F, dl \rangle = \sum_{i=1}^r \int_{\alpha_i} \langle F, dl \rangle$ .

Si la trajectòria és tancada ( $\alpha(a) = \alpha(b)$ ), sovint s'escriu  $\oint_{\alpha} \langle F, dl \rangle$ .

Obs.: Estem escrivint  $d\vec{l} = d\vec{l} = \alpha'(t) dt$  (vectorial),  
diferent de l'element de longitud  $dl = \|\alpha'(t)\| dt$  (escalar).

Una altra notació:

$$\int_{\alpha} \langle F, d\vec{l} \rangle = \int_a^b (P(\alpha(t)) x'(t) + Q(\alpha(t)) y'(t) + R(\alpha(t)) z'(t)) dt =$$

$$= \int_{\alpha} \underbrace{P dx + Q dy + R dz}$$

1-forma diferencial associada al camp vect.  $F$ ,  
amb  $dx = x'(t) dt$ ,  $dy = y'(t) dt$ ,  $dz = z'(t) dt$ .

• En el cas d'un camp de forces, la circulació és el treball.  
Veuem més endavant la interpretació en el cas del camp de velocitats d'un fluid  
(en termes del rotacional).

• Exemples.

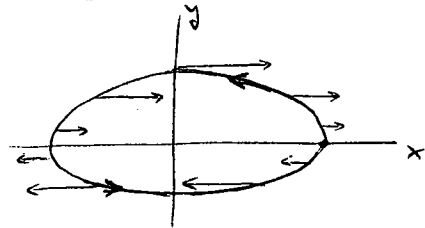
1) Circulació del camp  $F(x,y) = (y, 0)$  al llarg de l'el·lipse  $\frac{x^2}{a^2} + \frac{y^2}{b^2} = 1$ , parametritzada  
per  $\alpha(t) = (a \cos t, b \sin t)$ ,  $0 \leq t \leq 2\pi$ .

$$\int_{\alpha} \langle F, d\vec{l} \rangle = \int_0^{2\pi} \langle F(\alpha(t)), \alpha'(t) \rangle dt =$$

$$= \int_0^{2\pi} (-ab \sin^2 t) dt = -\pi ab$$

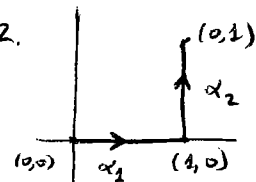
$$\begin{cases} F(\alpha(t)) = (b \sin t, 0) \\ \alpha'(t) = (-a \sin t, b \cos t) \end{cases}$$

Obs. circulació  $< 0$  ja que la força  
s'oposa al moviment al llarg de  
l'el·lipse.



2)  $\int_{\alpha} 3x^2y dx + (x^3+1) dy$ , essent  $\alpha(t) = \begin{cases} (t, 0) & 0 \leq t \leq 1 \\ (1, t-1) & 1 \leq t \leq 2 \end{cases}$

$\alpha$  és regular a trossos,  $\int_{\alpha} = \int_{\alpha_1} + \int_{\alpha_2}$ .



$$\int_{\alpha_1} 3x^2y dx + (x^3+1) dy = \int_0^1 0 dt + (t^3+1) \cdot 0 dt = 0$$

(el camp és antiparal·lel a  $\alpha_1$ ;  
 $F(t, 0) = (0, t^3+1)$ )

$$\begin{cases} x=t, y=0 \\ dx=dt, dy=0 dt \end{cases}$$

$$\int_{\alpha_2} 3x^2y dx + (x^3+1) dy = \int_1^2 3(t-1) \cdot 0 dt + 2 dt = 2$$

$$\Rightarrow \int_{\alpha} = 0 + 2 = \underline{2}$$

$$\begin{cases} x=1, y=t-1 \\ dx=0 dt, dy=dt \end{cases}$$

- Donada una trajectòria  $\alpha(t)$ ,  $a \leq t \leq b$  (suposem regular) i un camp vectorial  $F$ , podem reescriure la circulació de  $F$  al llarg de  $\alpha$  considerant els vector tangent unitari a la trajectòria  $\alpha$ :

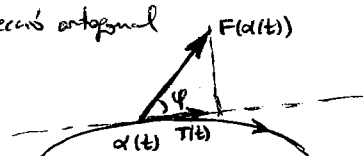
$$T(t) = \frac{\alpha'(t)}{\|\alpha'(t)\|}$$

Així tenim:

$$\int_{\alpha} \langle F, dl \rangle = \int_a^b \langle F(\alpha(t)), \alpha'(t) \rangle dt = \int_a^b \langle F(\alpha(t)), T(t) \rangle \|\alpha'(t)\| dt = \int_{\alpha} \langle F, T \rangle dl \quad (*)$$

(integral de trajectòria d'una funció escalar)

Interpretació geomètrica:  $\langle F, T \rangle$  és el component tangencial del camp  $F$  en cada punt de la trajectòria  $\alpha$  (és a dir, la projecció ortogonal sobre la recta tangent).



$$\|\alpha'(t)\| \cos \varphi = \langle F(\alpha(t)), T(t) \rangle$$

Obs.: Si  $F$  és ortogonal a  $\alpha$  en cada punt, llavors  $\int_{\alpha} \langle F, dl \rangle = 0$ .

- Circulació al llarg d'una corba orientada.

Donada una corba  $C$ , ens preguntem si podem escriure  $\int_C \langle F, dl \rangle$ , és a dir, si la circulació d'un camp vectorial al llarg de  $C$  no depèn de la parametrització escollida.

Si  $\alpha(t)$ ,  $t \in I$ , i  $\beta(s)$ ,  $s \in J$ , són parametritzacions de  $C$ , relacionades per un canvi de paràmetre  $h: J \rightarrow I$ , tenim (suposant  $\alpha, \beta$  regulars):

$$\int_{\alpha} \langle F, dl \rangle = \int_I \langle F(\alpha(t)), \alpha'(t) \rangle dt = \int_J \langle F(\beta(s)), \frac{\beta'(s)}{h'(s)} \rangle |h'(s)| ds = \pm \int_{\beta} \langle F, dl \rangle$$

$$\begin{aligned} t &= h(s) \\ \beta(s) &= \alpha(t) \\ \beta'(s) &= \alpha'(t) \cdot h'(s) \end{aligned}$$

$$\frac{|h'(s)|}{h'(s)} = \begin{cases} 1 & \text{si } h'(s) > 0 \\ -1 & \text{si } h'(s) < 0. \end{cases}$$

Recordem que  $h' > 0$  si  $\alpha$  i  $\beta$  tenen la mateixa orientació (o sentit), i  $h' < 0$  si tenen orientació oposada.

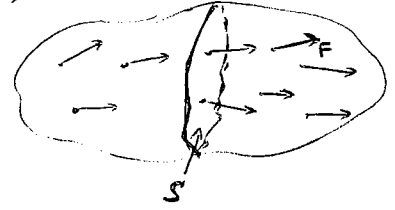
Per tant, la circulació d'un camp  $F$  al llarg d'una corba  $C$  no depèn de la parametrització concreta de la corba, però sí de la seva orientació. Només té sentit escriure  $\int_C \langle F, dl \rangle$  si prèviament hem establert una orientació de la corba  $C$ . (sovint una corba orientada s'escriu  $C^+$ ).

En la notació (\*), els vectors tangents unitaris  $T_{\alpha}(t) = \frac{\alpha'(t)}{\|\alpha'(t)\|}$ ,  $T_{\beta}(s) = \frac{\beta'(s)}{\|\beta'(s)\|}$  complen  $T_{\alpha}(t) = \pm T_{\beta}(s)$  segons si  $\alpha$  i  $\beta$  tenen la mateixa orientació o orientació oposada, i llavors:

$$\int_{\alpha} \langle F, T_{\alpha} \rangle dl = \pm \int_{\beta} \langle F, T_{\beta} \rangle dl$$

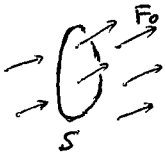
# Flux (d'un camp vectorial a través d'una superfície)

- Considerem un fluid en moviment, en una regió de l'espai, i que en cada punt la velocitat ve donada per un camp vectorial  $F(x,y,z)$  (camp de velocitats).



Donada una superfície  $S$ , el flux de  $F$  a través de  $S$  serà la quantitat de fluid que la travessa per unitat de temps (p. ex., el cabal en una secció d'un canal).

- Cas simple:  $S$  superfície plana,  $F(x,y,z) \equiv F_0$  camp constant.

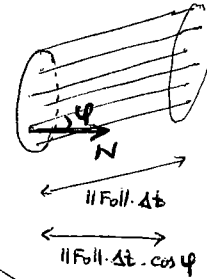


En un temps  $\Delta t$ , la quantitat de fluid que ha travessat  $S$  és:

$$A(S) \cdot \|F_0\| \cdot \Delta t \cdot \cos \varphi = A(S) \cdot \langle F_0, N \rangle \cdot \Delta t,$$

essent  $N$  vector unitari, ortogonal a  $S$ .

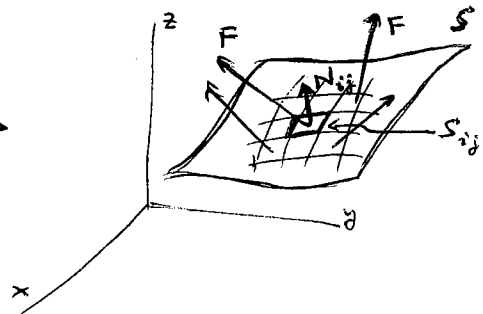
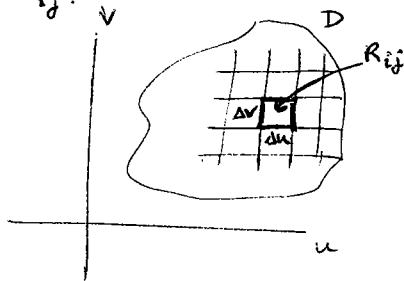
(aquesta quantitat és el volum d'un cilindre  $S$  i alçada  $\|F_0\| \cdot \Delta t \cdot \cos \varphi$ ,



llavors, el flux o quantitat de fluid per unitat de temps és:

$$A(S) \cdot \langle F_0, N \rangle$$

- En general, considerem una superfície  $S$  quel·lovol, parametritzada per  $\Phi: D \subset \mathbb{R}^2 \rightarrow \mathbb{R}^3$ , i un camp de velocitats  $F(x,y,z) = (P(x,y,z), Q(x,y,z), R(x,y,z))$ . Per aproximar el flux de  $F$  a través de  $S$ , considerem una partició de  $D$  en rectangles  $R_{ij}$ , i aproximem els trosos de superfície  $S_{ij} = \Phi(R_{ij})$  per paral·lelograms (cadascun contingut en un pla), i el camp  $F$  per constant sobre cada tros  $S_{ij}$ .



$$\text{Flux total} = \sum_{i,j} [\text{flux a través de } S_{ij}] \approx \sum_{i,j} A(S_{ij}) \cdot \langle F(\Phi(c_{ij})), N_{ij} \rangle \approx$$

$$\approx \sum_{i,j} \langle F(\Phi(c_{ij})), N_{ij} \rangle \| \Phi_u(c_{ij}) \wedge \Phi_v(c_{ij}) \| \cdot \Delta u \Delta v,$$

[aprox. de l'àrea dim. trosos superfície en una partició]

essent  $c_{ij} \in R_{ij}$ , i  $N_{ij}$  vector unitari, normal a  $S_{ij}$  en un punt. Passant al límit, obtenim una integral.



Escrivint  $N(u,v) = \frac{\Phi_u \wedge \Phi_v}{\|\Phi_u \wedge \Phi_v\|}$ , vector normal unitari en cada punt  $\Phi(u,v) \in S$ , tindrem:

$$\int_D \langle F(\Phi(u,v)), N(u,v) \rangle \|\Phi_u \wedge \Phi_v\| du dv = \int_D \langle F(\Phi(u,v)), \Phi_u \wedge \Phi_v \rangle du dv. (*)$$

• Def.

- (a) Si  $S$  superfície regular, amb una parametrització  $\Phi: D \subset \mathbb{R}^2 \rightarrow \mathbb{R}^3$ , donat un camp vectorial  $F = (P, Q, R)$ , el flux de  $F$  a través de  $S$ , o integral de superfície de  $F$  sobre  $S$  (per la parametrització  $\Phi$ ):

$$\int_{\Phi} \langle F, dS \rangle = \int_D \langle F(\Phi(u,v)), \Phi_u \wedge \Phi_v \rangle du dv$$

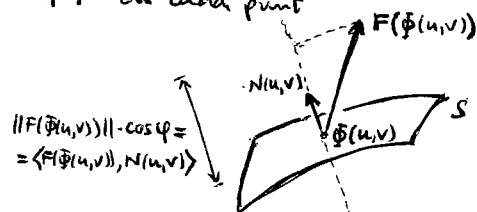
- (b) Si  $S$  és regular a trosos,  $S_1, \dots, S_r$ , amb parametritzacions  $\Phi_1, \dots, \Phi_r$ , el flux ve donat per la suma:  $\sum_{i=1}^r \int_{\Phi_i} \langle F, dS \rangle$ .

Obs.: Hem escrit  $dS = d\vec{S} = \Phi_u \wedge \Phi_v \cdot du dv$  (vectorial), diferent de l'element d'àrea  $dS = \|\Phi_u \wedge \Phi_v\| du dv$  (escalar).

- Com ja hem vist a (\*), també podem escriure el flux de  $F$  a través de  $S$  en termes del vector normal unitari  $N(u,v) = \frac{\Phi_u \wedge \Phi_v}{\|\Phi_u \wedge \Phi_v\|}$ . (suposem  $S$  regular)

llavors tenim: 
$$\int_{\Phi} \langle F, dS \rangle = \int_{\Phi} \langle F, N \rangle dS$$

i la funció escalar  $\langle F, N \rangle$  és el component normal del camp  $F$  en cada punt de la superfície  $S$ .



Obs.: Si  $F$  és tangent a  $S$  en cada punt, llavors  $\int_{\Phi} \langle F, dS \rangle = 0$ .

- Una altra notació per al flux de  $F = (P, Q, R)$  a través de  $S$ :

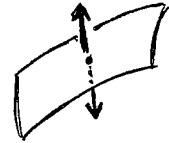
$$\int_{\Phi} P dy dz + Q dz dx + R dx dy$$

una 2-forma diferencial.

Orientació d'una superfície, flux a través d'una superfície orientada.

\* Com en el cas de la circulació al llarg d'una corba, el flux d'un camp vectorial  $F$  a través d'una superfície  $S$  no depèn de la parametrització concreta, però sí de la seva orientació.

Notem que, en cada punt de  $S$ , segons la parametrització escollida tenim 2 possibles vectors normals unitaris.



Si  $S$  és superfície regular, donades dues parametritzacions regulars  $\Phi$  i  $\Psi$  de  $S$ , per continuïtat només podem tenir una d'aquestes 2 situacions:

- els vectors normals unitaris coincideixen en tot punt:  $N_\Phi = N_\Psi$ ; llavors direm que  $\Phi$  i  $\Psi$  tenen la mateixa orientació.
- els vectors normals unitaris són oposats en tot punt:  $N_\Phi = -N_\Psi$ ; llavors direm que  $\Phi$  i  $\Psi$  tenen orientacions oposades.

(Si relacionem  $\Phi$  i  $\Psi$  per un canvi de paràmetre,  $\Psi = \Phi \circ h$ , tenim  $\Psi_u \wedge \Psi_v = Jh \cdot \Phi_u \wedge \Phi_v$ . Llavors, el signe del jacobi  $Jh$  ens diu si  $\Phi$  i  $\Psi$  tenen la mateixa orientació o oposades.

\* Recordant que  $\int_\Phi \langle F, dS \rangle = \int_\Phi \langle F, N_\Phi \rangle dS$ , prenent com a referència en cada punt el vector  $N_\Phi$ , el signe de  $\langle F, N_\Phi \rangle$  ens diu si el vector  $F$  apunta cap al mateix costat de  $S$  que  $N_\Phi$ , o cap a l'altre costat. Però aquest signe pot canviar si prenem com a referència  $N_\Psi$ . Per tant, tindrem:

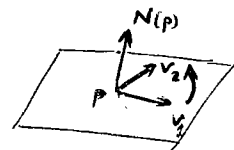
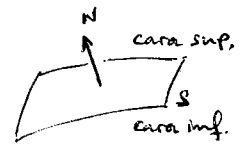
$$\int_\Phi \langle F, dS \rangle = \pm \int_\Psi \langle F, dS \rangle, \text{ segons si } \Phi \text{ i } \Psi \text{ tenen la mateixa orientació, o orientacions oposades.}$$

\* Def. Sigui  $S$  superfície regular.

- (a) Una orientació de la superfície  $S$  és una tria d'un vector normal unitari  $N(p)$  per a cada punt  $p \in S$ , de manera que  $N: S \rightarrow \mathbb{R}^3$  sigui contínua (sovint, una superfície orientada s'escriu  $S^+$ ).
- (b) La superfície  $S$  és orientable si admet alguna orientació definida a tota la sup.  $S$ .

Aleshores:

- Podem parlar de "cara superior" i "cara inferior" de la superfície  $S$ .
- Fem un determinat un sentit de gir positiu sobre el pla tangent en cada punt  $p \in S$ : donats  $v_1, v_2 \in T_p S$  tal que  $v_1 \wedge v_2 = N(p)$ , el sentit de gir positiu és de  $v_1$  cap a  $v_2$ .



(c) Si  $S$  superfície orientada per  $N$ , donat un camp vectorial  $F$  escriurem

$$\int_S \langle F, dS \rangle = \int_\Phi \langle F, dS \rangle, \text{ essent } \Phi \text{ una parametrització de } S \text{ tal que } N_\Phi = N.$$

$$\left( \text{o bé } \int_S \langle F, dS \rangle = - \int_\Phi \langle F, dS \rangle \text{ si } N_\Phi = -N \right)$$

[és a dir, si l'orientació de  $\Phi$  és la que hem escollit per a  $S$ ]

\* Exemples (orientacions de superfícies)1) Gràfica d'una funció:  $S = \{z = f(x, y), (x, y) \in D\}$ 

Parametrització  $\Phi(x, y) = (x, y, f(x, y)) \rightarrow \Phi_x \wedge \Phi_y = (-f_x, -f_y, 1) \Rightarrow N_\Phi = \frac{(-f_x, -f_y, 1)}{\sqrt{1+f_x^2+f_y^2}}$ .

El vector normal unitari  $N_\Phi$  ens dona una orientació de tota la superfície  $S \Rightarrow$  és orientable.

2) En general, si  $S$  és superfície parametritzada per  $\Phi(u, v), (u, v) \in D$ , suposant  $\Phi$  injectiva a tot  $D$  (incloent la frontera  $\partial D$ ), serà orientable,

amb  $N_\Phi = \frac{\Phi_u \wedge \Phi_v}{\|\Phi_u \wedge \Phi_v\|}$ .

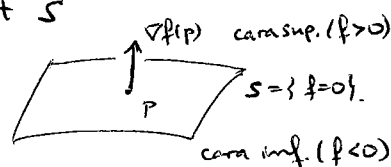
3) Superfície definida implícitament:  $S = \{f(x, y, z) = 0\}$ ,

suposant que  $\nabla f(x, y, z) \neq (0, 0, 0) \forall (x, y, z) \in S$  (és a dir, en tot punt de  $S$  podem aplicar el teo. f. impl.)

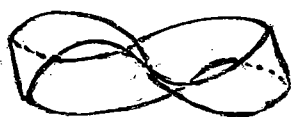
Sabem que  $\nabla f(x, y, z)$  és un vector normal a  $S$  en cada punt  $(x, y, z) \in S$ .

Lavors,

$N = \frac{\nabla f(x, y, z)}{\|\nabla f(x, y, z)\|}$  és un vector normal unitari a tot  $S \Rightarrow$  és orientable



P. ex.  $\left\{ \begin{array}{l} S = \{x^2 + y^2 = R^2\} \text{ (cilindre)} \rightarrow N = \frac{1}{R}(x, y, 0) \\ S = \{x^2 + y^2 + z^2 = R^2\} \text{ (esfera)} \rightarrow N = \frac{1}{R}(x, y, z) \end{array} \right.$

4) Cinta de Möbius

$\rightarrow$  exemple de superfície no orientable

Parametrització:

$$\Phi(\theta, v) = \left( (R + rv \cos \frac{\theta}{2}) \cos \theta, (R + rv \cos \frac{\theta}{2}) \sin \theta, rv \sin \frac{\theta}{2} \right),$$

$$0 \leq \theta \leq 2\pi, -1 \leq v \leq 1. \quad (r < R)$$

no injectiva a  $\partial D$ ; tenim  $\Phi(0, 0) = \Phi(2\pi, 0)$

però  $N_\Phi(0, 0) = (0, 0, -1), N_\Phi(2\pi, 0) = (0, 0, 1)$ .

• Exemples de càlcul de flux

1) Flux del camp  $F(x,y,z) = (0,1,0)$  a través de l'esfera  $S = \{x^2 + y^2 + z^2 = 1\}$ , orientada per la normal exterior.

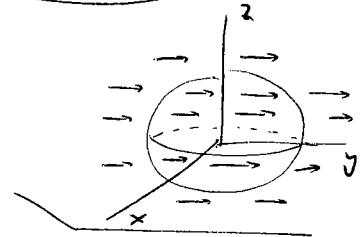
Parametritzem  $S$ :  $\Phi(\theta, \varphi) = (\cos \varphi \cdot \cos \theta, \cos \varphi \cdot \sin \theta, \sin \varphi) = (x, y, z)$ ,  $0 \leq \theta \leq 2\pi, -\frac{\pi}{2} \leq \varphi \leq \frac{\pi}{2}$   
 $\Phi_\theta \wedge \Phi_\varphi = \underbrace{\cos \varphi}_{>0} \cdot (x, y, z) \rightarrow$  normal exterior.

$$\int_S \langle F, ds \rangle = + \int_{\Phi} \langle F, ds \rangle = \int_D \langle F \circ \Phi, \Phi_\theta \wedge \Phi_\varphi \rangle d\theta d\varphi = \int_D \cos \varphi \cdot y d\theta d\varphi =$$

$$= \int_D \cos^2 \varphi \cdot \sin \theta d\theta d\varphi = \int_0^{2\pi} \sin \theta d\theta \cdot \int_{-\pi/2}^{\pi/2} \cos^2 \varphi d\varphi = 0.$$

$F(\Phi(\theta, \varphi)) = (0, 1, 0)$   
 $\Phi_\theta \wedge \Phi_\varphi = \cos \varphi \cdot (x, y, z)$

(surt tant de fluid com n'entra)



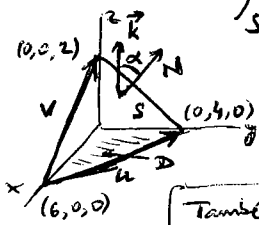
2) Flux del camp  $F = (9, 6, 3)$  (constant) a través de la superfície del pla  $2x + 3y + 6z = 12$  continguda en el 1er octant, segons la direcció del vector normal  $(2, 3, 6)$ .

$$\int_S \langle F, ds \rangle = \int_S \langle F, N \rangle dS = \frac{18}{7} A(S) = \frac{18}{7} \frac{A(D)}{\cos \alpha} = \frac{18}{7} \cdot \frac{12}{6/7} = 36.$$

$N = \frac{1}{7}(2, 3, 6)$   
 $\langle F, N \rangle = \frac{18}{7}$

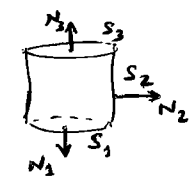
També podem usar:  
 $A(S) = \frac{1}{2} \|u \wedge v\| = \frac{1}{2} \|(-6, 4, 0) \wedge (-6, 0, 2)\| = \frac{1}{2} \|(8, 12, 24)\| = 14$

$D$ : projecció de  $S$  sobre el pla  $xy$ ,  
 $A(D) = \frac{6 \cdot 4}{2} = 12$ .  
 $\alpha$ : angle de  $N$  amb la direcció vertical,  
 $\cos \alpha = \langle N, \vec{k} \rangle = \frac{6}{7}$



3)  $W = \{x^2 + y^2 \leq 1, 0 \leq z \leq 5\}$  (cilindre), calculem el flux sortint del camp  $F = (xz, x, -3y^2z)$  per la superfície  $S = \partial W$ .

$S = S_1 \cup S_2 \cup S_3$ , sup. regular a trosos,  $\int_S \langle F, ds \rangle = \int_{S_1} + \int_{S_2} + \int_{S_3}$



\*  $S_1 = \{z=0, x^2 + y^2 \leq 1\}$ , vector normal  $N_1 = (0, 0, -1)$

$\int_{S_1} \langle F, ds \rangle = \int_{S_1} \langle F, N_1 \rangle dS = 0$ , ja  $\forall (x,y,0) \in S_1, F(x,y,0) = (0, x, 0) \perp N_1$  (el camp  $F$  és tangent a  $S_1$ ).

\*  $S_2 = \{x^2 + y^2 = 1, 0 \leq z \leq 5\}$ , parametritzem:  $\Phi(\theta, z) = (\cos \theta, \sin \theta, z)$ ,  $0 \leq \theta \leq 2\pi, 0 \leq z \leq 5$

$\Phi_\theta \wedge \Phi_z = N_2 = (\cos \theta, \sin \theta, 0)$ , normal exterior.  
 $\int_{S_2} \langle F, ds \rangle = \int_{D_2} \langle F \circ \Phi, \Phi_\theta \wedge \Phi_z \rangle d\theta dz = \int_{D_2} (z \cos^2 \theta + \cos \theta \sin \theta) d\theta dz = \frac{25}{2} \pi$

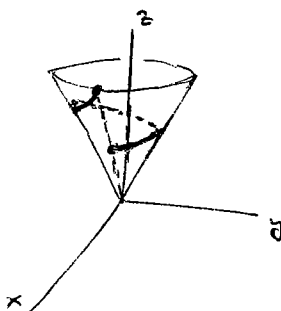
\*  $S_3 = \{z=5, x^2 + y^2 \leq 1\}$ ,  $N_3 = (0, 0, 1)$

$\int_{S_3} \langle F, ds \rangle = \int_{S_3} \langle F, N_3 \rangle dS = \int_{D_3} (-15y^2) dx dy = -15 \int_0^1 r^3 dr \cdot \int_0^{2\pi} \sin^2 \theta d\theta = -\frac{15}{4} \pi$   
 $F(x,y,5) = (5x, x, -15y^2)$  (polar)

Sumant,  
 $\int_S \langle F, ds \rangle = 0 + \frac{25}{2} \pi - \frac{15}{4} \pi = \frac{35}{4} \pi$

(2.5) Circulació d'un camp vectorial a través d'una corba.

- (33) Determineu el treball del camp de forces  $F = (x, y, z)$ , quan el punt material es desplaça a través de la primera espira de l'hèlice cònica  
 $x = ae^t \cos t$ ,  $y = ae^t \sin t$ ,  $z = ae^t$ , des del punt  $A = (a, 0, a)$  fins al punt  $B = (ae^{2\pi}, 0, ae^{2\pi})$ .



$$\alpha(t) = (ae^t \cos t, ae^t \sin t, ae^t), \quad 0 \leq t \leq 2\pi.$$

$$A = \alpha(0), \quad B = \alpha(2\pi)$$

$$F(\alpha(t)) = (ae^t \cos t, ae^t \sin t, ae^t).$$

→ trajectòria continguda al con  $x^2 + y^2 = z^2$

$$\int_a^B \langle F, dl \rangle = \int_0^{2\pi} \langle F(\alpha(t)), \alpha'(t) \rangle dt = \int_0^{2\pi} 2a^2 e^{2t} dt = a^2 e^{2t} \Big|_0^{2\pi} = \underline{a^2(e^{4\pi} - 1)}.$$

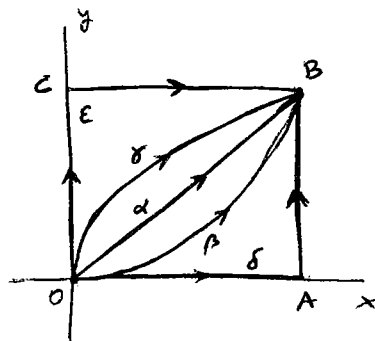
- (35) Calculeu la integral curvilínia  $\int_0^B \langle F, T \rangle dl$ , si  $F = (y^2, x^2)$ , essent  $O = (0, 0)$ ,  $B = (1, 1)$ , respecte a les línies següents:

- (a) segment de la recta OB.

$$\alpha(t) = (t, t), \quad 0 \leq t \leq 1.$$

$$\alpha'(t) = (1, 1), \quad F(\alpha(t)) = (t^2, t^2)$$

$$\int_a^B \langle F, T \rangle dl = \int_0^1 \langle F(\alpha(t)), \alpha'(t) \rangle dt = \int_0^1 2t^2 dt = \underline{\underline{\frac{2}{3}}}.$$



- (b) arc de la paràbola  $x^2 = y$

$$\beta(x) = (x, x^2), \quad 0 \leq x \leq 1 \quad \leadsto \quad \beta'(x) = (1, 2x), \quad F(\beta(x)) = (x^4, x^2)$$

$$\int_\beta \langle F, T \rangle dl = \int_0^1 \langle F(\beta(x)), \beta'(x) \rangle dx = \int_0^1 (x^4 + 2x^3) dx = \underline{\underline{\frac{7}{10}}}.$$

- (c) arc de la paràbola  $y^2 = x$

$$\delta(y) = (y^2, y), \quad 0 \leq y \leq 1 \quad \leadsto \quad \delta'(y) = (2y, 1), \quad F(\delta(y)) = (y^2, y^4)$$

$$\int_\delta \langle F, T \rangle dl = \int_0^1 \langle F(\delta(y)), \delta'(y) \rangle dy = \int_0^1 (2y^3 + y^4) dy = \underline{\underline{\frac{7}{10}}}.$$

- (d) trena OAB, on  $A = (1, 0)$ .

$$\delta(t) = \begin{cases} (t, 0), & 0 \leq t \leq 1 \\ (1, t-1), & 1 \leq t \leq 2 \end{cases} \quad \leadsto \quad \delta'(t) = \begin{cases} (1, 0), \\ (0, 1) \end{cases}, \quad F(\delta(t)) = \begin{cases} (0, t^2) \\ (t-1)^2, 1 \end{cases}$$

$$\int_\delta \langle F, T \rangle dl = \int_0^1 \langle F(\delta(t)), \delta'(t) \rangle dt + \int_1^2 \langle F(\delta(t)), \delta'(t) \rangle dt = \int_0^1 0 dt + \int_1^2 1 dt = \underline{\underline{1}}.$$

- (e) trena OCB, on  $C = (0, 1)$ .

$$\epsilon(t) = \begin{cases} (0, t), & 0 \leq t \leq 1 \\ (t-1, 1), & 1 \leq t \leq 2 \end{cases} \quad \leadsto \quad \epsilon'(t) = \begin{cases} (0, 1) \\ (1, 0) \end{cases}, \quad F(\epsilon(t)) = \begin{cases} (t^2, 0) \\ (1, (t-1)^2) \end{cases}$$

$$\int_\epsilon \langle F, T \rangle dl = \int_0^1 \langle F(\epsilon(t)), \epsilon'(t) \rangle dt + \int_1^2 \langle F(\epsilon(t)), \epsilon'(t) \rangle dt = \int_0^1 0 dt + \int_1^2 1 dt = \underline{\underline{1}}.$$

- 38) Calculen la circulació del vector  $F = (y, -z, x)$  a través de l'el·lipse  $\frac{x^2+y^2}{2} + z^2 = a^2$ ,  $y=x$  orientada positivament prenent com a vector normal positiu del pla  $y=x$  el  $(1, -1, 0)$ .

$$C = \left\{ (x, y, z) : \underbrace{\frac{x^2+y^2}{2} + z^2 = a^2}_{\text{el·lipsòide}}, \underbrace{y=x}_{\text{pla}} \right\} \text{ el·lipse}$$

Sobre  $C$ , com que  $y=x$  tenim  $x^2+z^2=a^2$ .

Llavors, podem parametritzar  $C$  per

$$\alpha(t) = (a \cos t, a \cos t, a \sin t), \quad 0 \leq t \leq 2\pi.$$

Calculem:

$$\alpha'(t) = (-a \sin t, -a \sin t, a \cos t)$$

$$F(\alpha(t)) = (a \cos t, -a \sin t, a \cos t)$$

$$\int_C \langle F, dl \rangle = \int_0^{2\pi} \langle F(\alpha(t)), \alpha'(t) \rangle dt = \int_0^{2\pi} a^2 (1 - \sin t \cdot \cos t) dt = a^2 \left[ t - \frac{\sin^2 t}{2} \right]_0^{2\pi} = \underline{\underline{2\pi a^2}}$$

- \* Hem de comprovar si l'orientació de la parametrització  $\alpha$  de  $C$  és compatible amb l'orientació del pla  $y=x$ , donada pel vector  $N = (1, -1, 0)$ .  
(Si no ho fos, canviariem el signe).

Considerem el tros de pla que queda a l'interior de l'el·lipsòide:

$$S = \left\{ y=x, \frac{x^2+y^2}{2} + z^2 \leq a^2 \right\} = \left\{ f(x, y, z) = 0, g(x, y, z) \leq 0 \right\},$$

$$\text{esient } f(x, y, z) = x - y, \quad g(x, y, z) = \frac{x^2+y^2}{2} + z^2 - a^2.$$

La corba  $C$  és la vora de  $S$ .

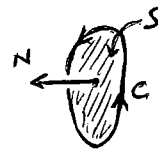
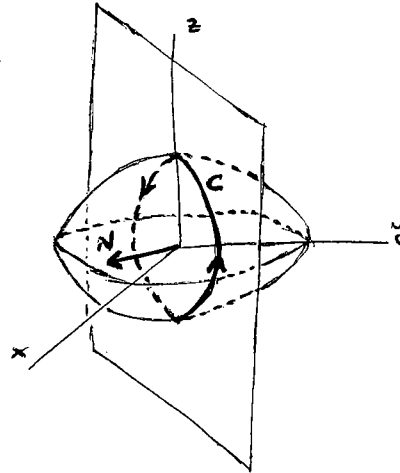
$$\text{Tenim } \left. \begin{array}{l} \nabla f = (1, -1, 0) = N \\ \nabla g = (x, y, 2z) \end{array} \right\}$$

l'orientació de  $C$  compatible amb  $S$  és la que ve donada pel vector

$$\nabla f \wedge \nabla g = \begin{vmatrix} i & j & k \\ 1 & -1 & 0 \\ x & y & 2z \end{vmatrix} = (-2z, -2z, y+x),$$

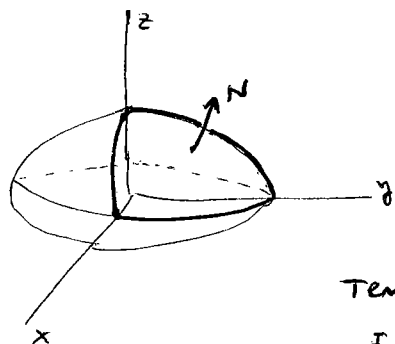
que té la mateixa direcció i sentit que  $\alpha'(t)$ , en els punts  $(x, y, z) = \alpha(t)$ .

$$\text{Per tant, } \int_{C^+} \langle F, dl \rangle = \int_C \langle F, dl \rangle = \underline{\underline{2\pi a^2}}$$



(2.6) Flux d'un camp vectorial a través d'una superfície.

41) Troben el flux del vector  $F=(x,y,z)$  a través d'una part de la superfície de l'el·lipsoide  $\frac{x^2}{a^2} + \frac{y^2}{b^2} + \frac{z^2}{c^2} = 1$  situada en el primer octant, orientada per la normal exterior.



La superfície s' ve parametritzada per

$$\Phi(\theta, \varphi) = (a \cos \varphi \cdot \cos \theta, b \cos \varphi \cdot \sin \theta, c \cdot \sin \varphi),$$

$$(\theta, \varphi) \in D = [0, \pi/2] \times [0, \pi/2] \text{ (1er octant)}$$

Tenim (probl. 32):

$$\begin{aligned} \Phi_\theta \wedge \Phi_\varphi &= (bc \cos^2 \varphi \cos \theta, ac \cos^2 \varphi \sin \theta, ab \cos \varphi \sin \varphi) = \\ &= \cos \varphi \cdot \left( \frac{bc}{a} x, \frac{ac}{b} y, \frac{ab}{c} z \right) \end{aligned}$$

$\Rightarrow$  el vector normal unitari  $N_\Phi = \frac{\Phi_\theta \wedge \Phi_\varphi}{\|\Phi_\theta \wedge \Phi_\varphi\|}$  correspon a la normal exterior (els 3 components  $> 0$  en el 1er octant).

Calanem:

$$\int_S \langle F, dS \rangle = \int_D \langle F \circ \Phi, \Phi_\theta \wedge \Phi_\varphi \rangle d\theta d\varphi = \int_D abc \cos \varphi d\theta d\varphi =$$

$$= abc \int_0^{\pi/2} d\theta \int_0^{\pi/2} \cos \varphi d\varphi = abc \cdot \frac{\pi}{2} \cdot 1 = \frac{\pi abc}{2}$$

$$\begin{aligned} F(\Phi(\theta, \varphi)) &= \Phi(\theta, \varphi) = (x, y, z) \\ \langle F(\Phi), \Phi_\theta \wedge \Phi_\varphi \rangle &= \cos \varphi \cdot \left( \frac{bc}{a} x^2 + \frac{ac}{b} y^2 + \frac{ab}{c} z^2 \right) = \\ &= abc \cos \varphi \cdot \left( \frac{x^2}{a^2} + \frac{y^2}{b^2} + \frac{z^2}{c^2} \right) = abc \cos \varphi \end{aligned}$$

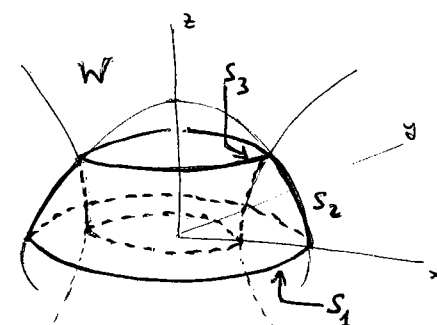
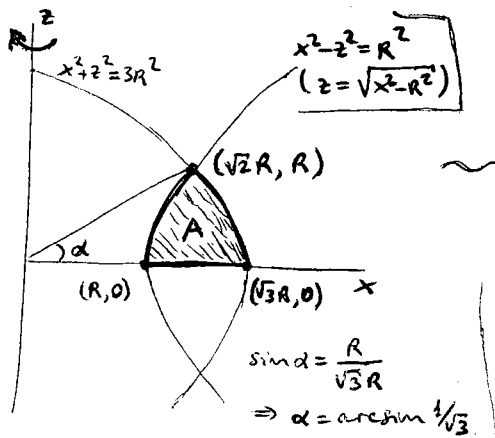
42) Troben el flux del vector  $F=(x^2, -y^2, z^2)$  a través de tota la superfície del cos  $x^2+y^2+z^2 \leq 3R^2, 0 \leq z \leq \sqrt{x^2+y^2-R^2}$  orientada per la normal exterior.

Observem:  $x^2+y^2+z^2 = 3R^2$  esfera

$z = \sqrt{x^2+y^2-R^2} \rightarrow x^2+y^2-z^2 = R^2$ , hiperboloides d'una fulla

El cos  $W = \{ (x,y,z) : x^2+y^2+z^2 \leq 3R^2, 0 \leq z \leq \sqrt{x^2+y^2-R^2} \}$  és un cos de revolució, obtingut en girar respecte l'eix z el conjunt:

$$A = \{ (x,z) : x^2+z^2 \leq 3R^2, 0 \leq z \leq \sqrt{x^2-R^2}, x \geq 0 \}$$



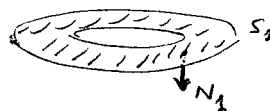
La frontera  $S = \partial W$  és una superfície regular a trosos:  $S = S_1 \cup S_2 \cup S_3$ .

llavors calculem el flux de  $F$  a través de cada tros i sumarem:

$$\int_S \langle F, dS \rangle = \int_{S_1} \langle F, dS \rangle + \int_{S_2} \langle F, dS \rangle + \int_{S_3} \langle F, dS \rangle, \text{ amb cada } S_i \text{ orientat per la normal exterior al cos } W.$$

\*  $S_1 = \{ (x, y, z) : z=0, R^2 \leq x^2 + y^2 \leq 3R^2 \}$  (corona circular en el pla  $z=0$ ).

Vector normal:  $N_1(x, y) = (0, 0, -1)$



llavors,

$$\int_{S_1} \langle F, dS \rangle = \int_{S_1} \langle F, N_1 \rangle dS = 0$$

$$\langle F(x, y, 0), N_1 \rangle = \langle (x^2, -y^2, 0), (0, 0, -1) \rangle = 0 \quad \forall (x, y)$$

( $F$  és tangent a la superfície  $S_1$ ).

\*  $S_2 = \{ (x, y, z) : x^2 + y^2 + z^2 = 3R^2, 0 \leq z \leq R \}$  (un tros d'esfera),

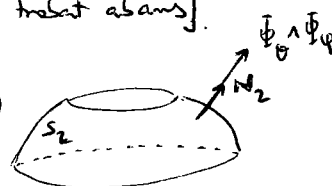
estent  $\Phi(\theta, \varphi) = (\sqrt{3}R \cos \varphi \cos \theta, \sqrt{3}R \cos \varphi \sin \theta, \sqrt{3}R \sin \varphi)$  (coord. esfèriques).

$$D_2 = \{ (\theta, \varphi) : 0 \leq \theta \leq 2\pi, 0 \leq \varphi \leq \arcsin \frac{1}{\sqrt{3}} \}$$

Notem que el vector normal

$$\Phi_\theta \wedge \Phi_\varphi = 3R^2 (\cos^2 \varphi \cos \theta, \cos^2 \varphi \sin \theta, \cos \varphi \sin \varphi) = \sqrt{3}R \cos \varphi (x, y, z)$$

s'orienta cap a l'exterior del cos  $W$



Per tant,

$$\int_{S_2} \langle F, dS \rangle = + \int_{D_2} \langle F \circ \Phi, \Phi_\theta \wedge \Phi_\varphi \rangle d\theta d\varphi = \int_{D_2} 9R^4 (\cos^4 \varphi (\cos^3 \theta - \sin^3 \theta) + \cos \varphi \sin^3 \varphi) d\theta d\varphi =$$

$$F(\Phi(\theta, \varphi)) = 3R^2 (\cos^2 \varphi \cos^2 \theta, -\cos^2 \varphi \sin^2 \theta, \sin^2 \varphi)$$

i calculem el producte escalar.

$$= 0 + 9R^4 \cdot 2\pi \cdot \int_0^{\arcsin 1/\sqrt{3}} \cos \varphi \sin^3 \varphi d\varphi = 18\pi R^4 \cdot \frac{\sin^4 \varphi}{4} \Big|_0^{\arcsin 1/\sqrt{3}} = 18\pi R^4 \cdot \frac{(1/\sqrt{3})^4}{4} = \frac{\pi R^4}{2},$$

on hem usat que  $\int_0^{2\pi} \cos^3 \theta d\theta = \int_0^{2\pi} \sin^3 \theta d\theta = 0$ . (\*)

\*  $S_3 = \{ (x, y, z) : x^2 + y^2 - z^2 = R^2, 0 \leq z \leq R \}$  (un tros d'hiperbolòide).

Notem que  $S_3$  és la superfície de revolució obtinguda de la corba

$$\alpha(z) = (f(z), 0, g(z)) = (\sqrt{R^2 + z^2}, 0, z), \quad 0 \leq z \leq R$$

$\Rightarrow$  podem parametritzar

$$S_3 = \Psi(D_3),$$

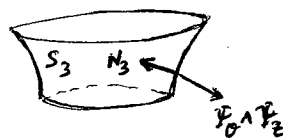
$$\Psi(\theta, z) = (f(z) \cos \theta, f(z) \sin \theta, g(z)) = (\sqrt{R^2 + z^2} \cos \theta, \sqrt{R^2 + z^2} \sin \theta, z)$$

$$D_3 = \{ (\theta, z) : 0 \leq \theta \leq 2\pi, 0 \leq z \leq R \}$$



El vector normal  $\Psi_\theta \wedge \Psi_z = (f'(z)g'(z)\cos\theta, f'(z)g'(z)\sin\theta, -f'(z)g'(z)) =$   
 $= (\sqrt{R^2+z^2}\cos\theta, \sqrt{R^2+z^2}\sin\theta, -z),$

el qual s'orienta cap a l'interior del cos  $\Psi$   
 (la part externa de l'hiperboloide)



Per tant,

$$\int_{S_3} \langle F, ds \rangle = - \int_{D_3} \langle F \circ \Psi, \Psi_\theta \wedge \Psi_z \rangle d\theta dz =$$

$$F(\Psi(\theta, z)) = ((R^2+z^2)\cos^2\theta, -(R^2+z^2)\sin^2\theta, z^2)$$

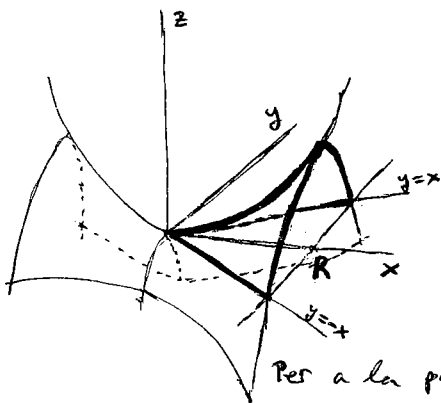
i calculem el producte escalar.

$$= - \int_{D_3} ((R^2+z^2)^{3/2} (\cos^3\theta - \sin^3\theta) - z^3) d\theta dz = 0 + 2\pi \int_0^R z^3 dz = 2\pi \cdot \frac{R^4}{4} = \frac{\pi R^4}{2},$$

on hem tornat a usar (\*).

El flux total:  $\int_S \langle F, ds \rangle = 0 + \frac{\pi R^4}{2} + \frac{\pi R^4}{2} = \underline{\underline{\pi R^4}}.$

48) Troben el flux del vector  $F = (x, y, z)$  a través d'una part de la superfície  $z = \frac{H}{R^2}(x^2 - y^2)$ , tallada pels plans  $x=R, z=0, x=0$  i orientada segons la direcció del vector  $(0, 0, 1)$  en el punt  $(0, 0, 0)$ .



$$z = \frac{H}{R^2}(x^2 - y^2) \text{ paraboloid hiperbòlic.}$$

$$\text{Notem que } z \geq 0 \Leftrightarrow x^2 \geq y^2 \Leftrightarrow -x \leq y \leq x \text{ (si } x \geq 0)$$

Llavors la superfície  $S'$  és la gràfica de  $f(x, y) = \frac{H}{R^2}(x^2 - y^2)$

sobre el domini  $D = \{(x, y) : 0 \leq x \leq R, -x \leq y \leq x\}$

Per a la parametrització  $\Phi(x, y) = (x, y, f(x, y))$ , el vector normal ve donat per  $\Phi_x \wedge \Phi_y = (-f_x, -f_y, 1) = (-\frac{2H}{R^2}x, \frac{2H}{R^2}y, 1)$ , que coincideix amb  $N = (0, 0, 1)$  a l'origen.

Llavors,

$$\int_S \langle F, ds \rangle = + \int_D \langle F \circ \Phi, \Phi_x \wedge \Phi_y \rangle dx dy = \int_D \frac{H}{R^2}(y^2 - x^2) dx dy =$$

$$F(\Phi(x, y)) = \Phi(x, y) = (x, y, f(x, y))$$

$$= \frac{H}{R^2} \int_0^R dx \int_{-x}^x (y^2 - x^2) dy = \frac{H}{R^2} \int_0^R dx \cdot \left[ \frac{y^3}{3} - x^2 y \right]_{y=-x}^{y=x} = \frac{H}{R^2} \int_0^R \left( -\frac{4}{3}x^3 \right) dx = -\frac{H}{R^2} \cdot \frac{R^4}{3} = \underline{\underline{-\frac{4HR^2}{3}}}$$